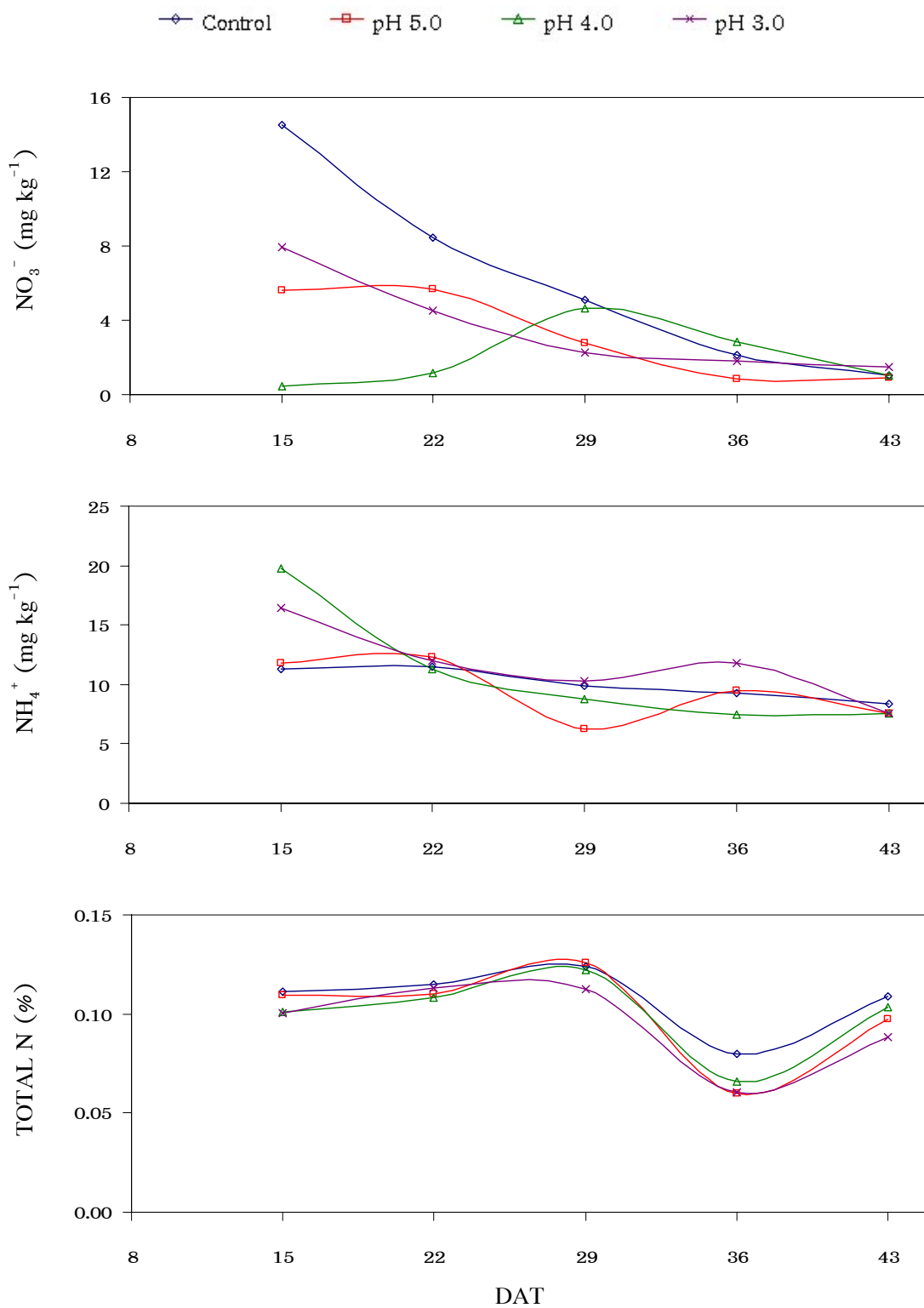
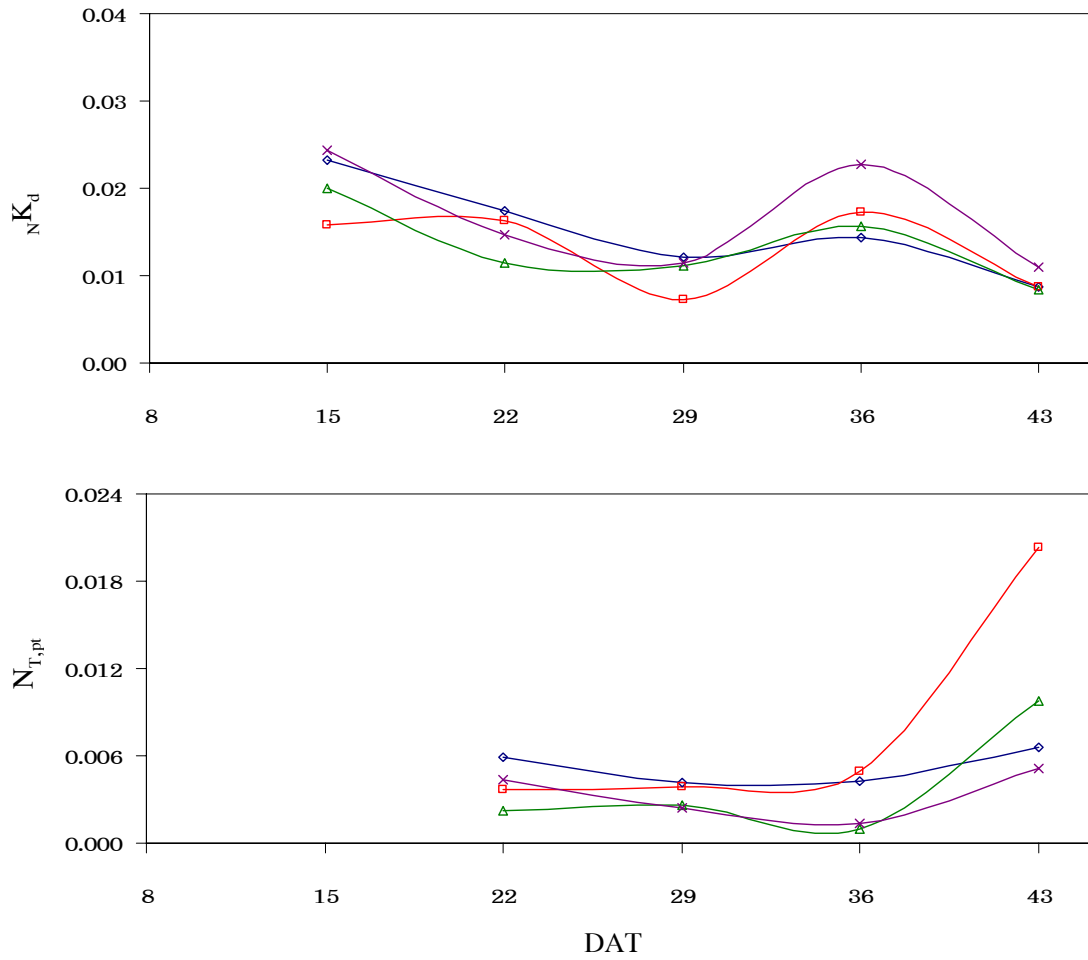


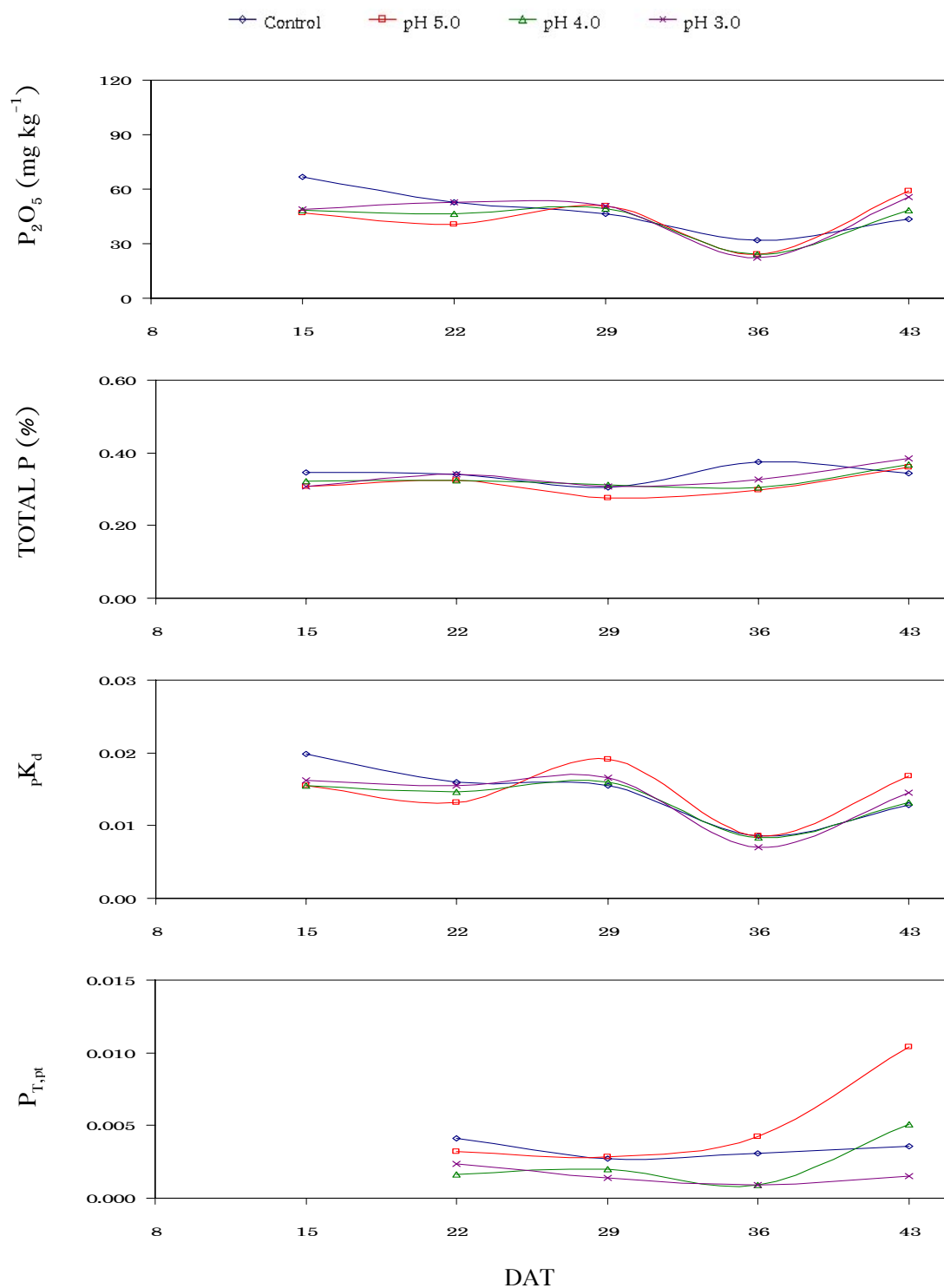
ภาพที่ 30 การเปลี่ยนแปลง pH 1:1, ECe และ OM ของชุดดินอยุธยาที่ระดับความลึก 0-20 cm ภายหลังจากได้รับฝนจำลองที่เกิดจากออกไซด์ของไนโตรเจนที่เวลาต่างๆ



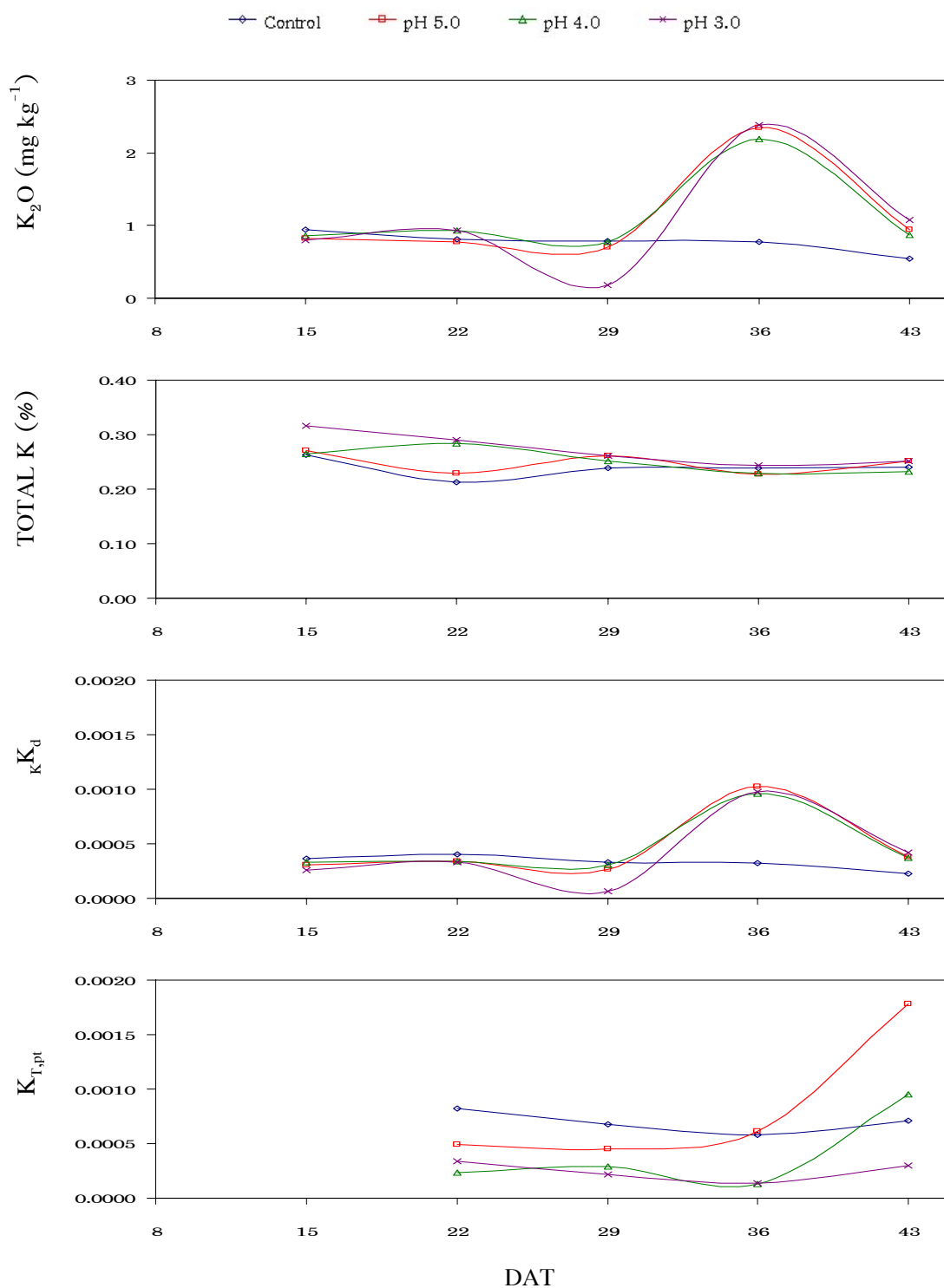
ภาพที่ 31 การเปลี่ยนแปลง  $\text{NO}_3^-$ ,  $\text{NH}_4^+$ , Total N,  $N_{K_d}$  และ  $N_{T,pt}$  ของชุดดินอยุธยาที่ระดับความลึก 0-20 cm ภายหลังจากได้รับฝนจำลองที่เกิดจากออกไซด์ของไนโตรเจนที่เวลาต่างๆ



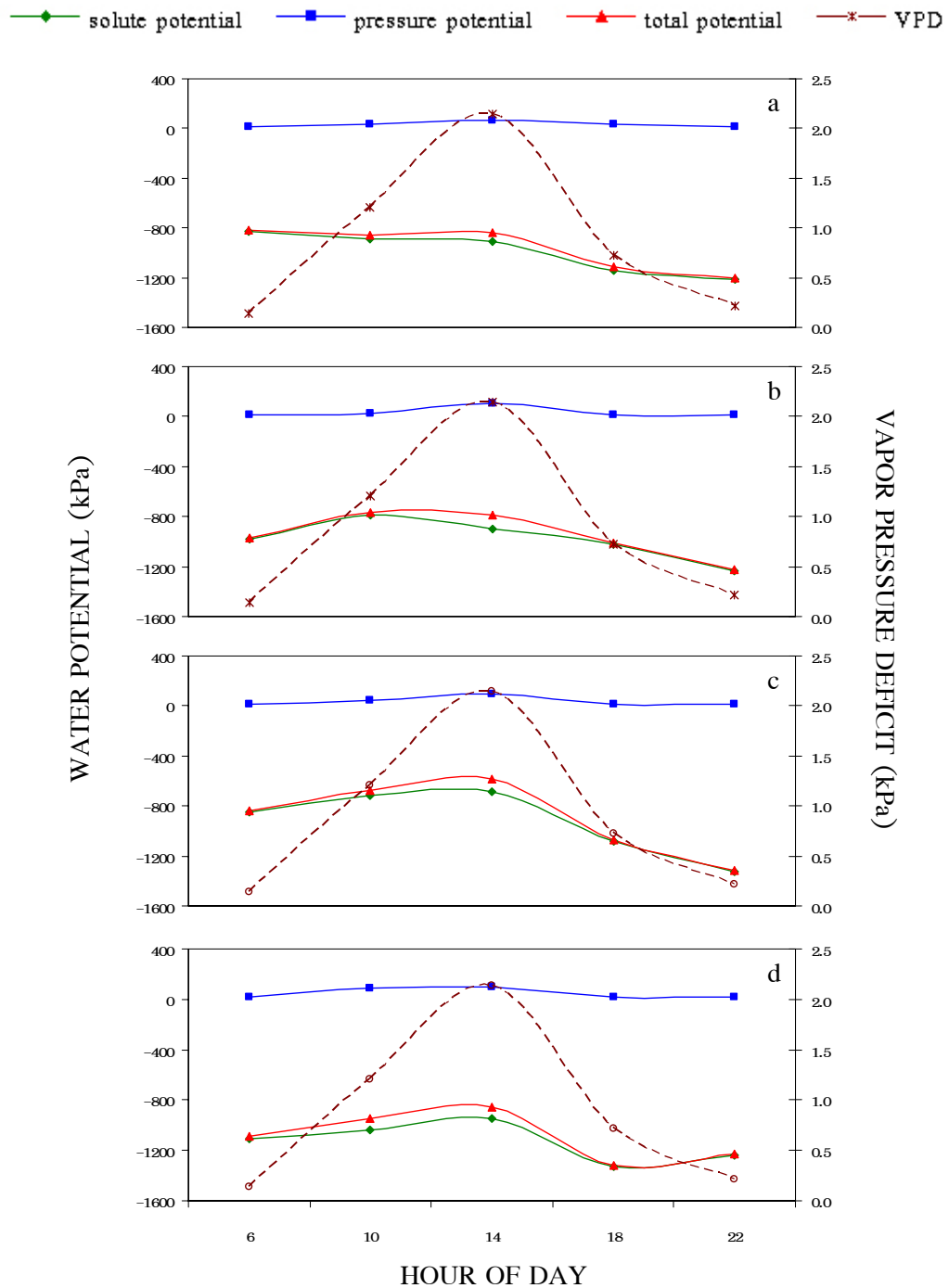
ภาพที่ 31 (ต่อ)



ภาพที่ 32 การเปลี่ยนแปลง  $P_2O_5$ , Total P,  $pK_d$  และ  $P_{\Gamma,pt}$  ของชุดดินอุรุธยาที่ระดับความลึก 0-20 cm ภายหลังจากได้รับฝนจำลองที่เกิดจากออกไซด์ของไนโตรเจนที่เวลาต่างๆ



ภาพที่ 33 การเปลี่ยนแปลง  $K_2O$ , Total K,  $K_d$  และ  $K_{T,pt}$  ของชุดดินอยุธยาที่ระดับความลึก 0-20 cm ภายหลังจากได้รับฝนจำลองที่เกิดจากออกไซด์ของไนโตรเจนที่เวลาต่างๆ



ภาพที่ 34 องค์ประกอบพลังงานศักย์น้ำในใบกระเจี๊ยบเขียว ศักย์น้ำรวม (total water potential) ศักย์สารละลาย (solute potential) และศักย์ความดัน (pressure potential) ในรอบวัน (6:00-22:00 น.) เมื่อได้รับฝนจำลองที่เกิดจากออกไซด์ของไนโตรเจนในตำรับทดลองควบคุม (a) ฝน pH 5.0 (b) ฝน pH 4.0 (c) และ ฝน pH 3.0 (d) ที่ปลูกในชุดดินอยุธยา